

(19)日本国特許庁(JP)

(12)特許公報(B2)

(11)特許番号
特許第7471374号
(P7471374)

(45)発行日 令和6年4月19日(2024.4.19)

(24)登録日 令和6年4月11日(2024.4.11)

(51)国際特許分類 F I
H 0 1 L 23/50 (2006.01) H
H 0 1 L 23/50 D

請求項の数 6 (全17頁)

(21)出願番号	特願2022-175345(P2022-175345)	(73)特許権者	000144038
(22)出願日	令和4年11月1日(2022.11.1)		株式会社三井ハイテック
(62)分割の表示	特願2018-200175(P2018-200175))の分割		福岡県北九州市八幡西区小嶺2丁目10 - 1
原出願日	平成30年10月24日(2018.10.24)	(74)代理人	100088155
(65)公開番号	特開2022-190003(P2022-190003 A)		弁理士 長谷川 芳樹
(43)公開日	令和4年12月22日(2022.12.22)	(74)代理人	100145012
審査請求日	令和4年11月28日(2022.11.28)		弁理士 石坂 泰紀
		(72)発明者	古野 綾太
			福岡県北九州市八幡西区小嶺二丁目10 番1号 株式会社三井ハイテック内
		(72)発明者	久保 公彦
			福岡県北九州市八幡西区小嶺二丁目10 番1号 株式会社三井ハイテック内
		審査官	豊島 洋介

最終頁に続く

(54)【発明の名称】 リードフレーム、及びリードフレームパッケージ

(57)【特許請求の範囲】

【請求項1】

基材と、前記基材を覆う表面層と、を備え、
前記表面層は、主成分としてCuOを含有する針状酸化物を含み、
前記表面層は、前記針状酸化物に付着するアモルファス状又は微結晶状の酸化膜を含む
、リードフレーム。

【請求項2】

前記針状酸化物は、さらにCu₂Oを含有する、請求項1に記載のリードフレーム。

【請求項3】

前記針状酸化物で構成される表面層の厚みは30nm以上である、請求項1又は2に記載のリードフレーム。

【請求項4】

前記針状酸化物は、先端部が当該先端部以外の部分よりも小さい原子比率(Cu/O)を有する、請求項1～3のいずれか一項に記載のリードフレーム。

【請求項5】

前記基材は銅めっき膜を有しており、前記針状酸化物は前記銅めっき膜から伸びている、請求項1～4のいずれか一項に記載のリードフレーム。

【請求項6】

請求項1～5のいずれか一項に記載のリードフレームと、
前記リードフレームに搭載される半導体チップと、

10

20

前記半導体チップ及び前記リードフレームの少なくとも一部を覆うように設けられる樹脂と、を備える、リードフレームパッケージ。

【発明の詳細な説明】

【技術分野】

【0001】

本開示は、リードフレーム、及びリードフレームパッケージに関する。

【背景技術】

【0002】

リードフレームパッケージは、リードフレームと、その上に搭載された半導体チップと、半導体チップを封止する樹脂とを備える。リードフレームパッケージの製造においては、リードフレームと、その上に搭載された半導体チップとを熱硬化性の樹脂で覆い、これを加熱して硬化させる。リードフレームの中には、半導体チップが搭載される一方側とは反対側の他方面が露出するタイプのものがある（例えば特許文献1参照）。

10

【先行技術文献】

【特許文献】

【0003】

【文献】特開平9 - 199639号公報

【発明の概要】

【発明が解決しようとする課題】

【0004】

近年、配線の高集積化及び大電流化により、パッケージの発熱量が増加しており、樹脂とリードフレームの界面剥離の発生が懸念される。また、車載関係のパッケージにおいては、安全性の面から信頼性の更なる向上が求められる。このような事情から、樹脂とリードフレームの密着性をこれまで以上に優れたものとする必要がある。さらに、パッケージの中には実装時及び使用時に高温環境下に曝されるものもあり、そのような場合には樹脂とリードフレームの密着性を維持することが求められる。

20

【0005】

そこで、本開示は、樹脂との密着性を高く維持することが可能なリードフレームを提供する。また、信頼性に優れたリードフレームパッケージを提供する。

【課題を解決するための手段】

【0006】

本開示は、一つの側面において、基材と、基材を覆う表面層と、を備え、表面層は、主成分としてCuOを含有する針状酸化物を含む、リードフレームを提供する。

30

【0007】

上記リードフレームは、針状酸化物を含む表面層を備える。また、針状酸化物が主成分としてCuOを含有する。CuOは、樹脂の分子構造に含まれる水酸基との間に水素結合を形成することができる。したがって、パッケージ化された後も、高温環境下において樹脂との密着性を高く維持することができる。

【0008】

本開示は、別の側面において、上述のリードフレームと、リードフレームに搭載される半導体チップと、半導体チップ及びリードフレームの少なくとも一部を覆うように設けられる樹脂と、を備える、リードフレームパッケージを提供する。

40

【0009】

上記リードフレームパッケージは、上述のリードフレームを備えることからパッケージ化された後も、樹脂とリードフレームの密着性を良好に維持することができる。したがって信頼性に優れる。

【発明の効果】

【0010】

本開示によれば、樹脂との密着性を高く維持することが可能なリードフレームを提供することができる。また、信頼性に優れたリードフレームパッケージを提供することができ

50

る。

【図面の簡単な説明】

【0011】

【図1】図1は、リードフレームの平面図である。

【図2】図2は、リードフレームの断面の一部を示す断面図である。

【図3】図3は、リードフレームの製造に用いる表面処理装置の一例を示す図である。

【図4】図4は、リードフレームパッケージの一例を示す断面図である。

【図5】図5は、実施例1のリードフレームのBF-STEM像の写真である。

【図6】図6は、実施例1の針状酸化物の拡大画像のTEM写真である。

【図7】図7は、実施例1の針状酸化物のEDX分析結果を示すチャートである。

10

【図8】図8は、実施例1の針状酸化物のTEM写真である。

【図9】図9は、実施例1の針状酸化物のTEM写真である。

【図10】図10は、実施例1の針状酸化物のTEM写真である。

【図11】図11(A)は、図9に対応する部位のHAADF-STEM像である。図11(B)及び図11(C)は、同じ部位におけるCu(K)及びO(K)のEDXマッピングの結果を示す。

【図12】図12は、実施例1の針状酸化物のTEM写真である。

【図13】図13は、実施例1の針状酸化物のTEM写真である。

【図14】図14は、実施例1の針状酸化物のTEM写真である。

【図15】図15は、実施例1の針状酸化物のTEM写真である。

20

【図16】図16は、実施例1の針状酸化物のTEM写真である。

【図17】図17は、実施例1の針状酸化物のTEM写真である。

【図18】図18は、実施例1の針状酸化物のTEM写真である。

【図19】図19(A)は、図8の「制限視野解析1」における電子回折の回折パターンである。図19(B)は、図8の「制限視野解析2」における電子回折の回折パターンである。図19(C)は、図12の「制限視野解析3」における電子回折の回折パターンである。図19(D)は、図12の「制限視野解析4」における電子回折の回折パターンである。

【図20】図20(A)は、図12に示される「ナノ回折1」における制限視野ナノ電子回折の回折パターンである。図20(B)は、図12に示される「ナノ回折2」における制限視野ナノ電子回折の回折パターンである。

30

【図21】図21は、実施例2における表面層の厚みとシア強度の関係を示すグラフである。

【発明を実施するための形態】

【0012】

以下、場合により図面を参照して、本発明の一実施形態について説明する。ただし、以下の実施形態は、本発明を説明するための例示であり、本発明を以下の内容に限定する趣旨ではない。説明において、同一要素又は同一機能を有する要素には同一符号を用い、場合により重複する説明は省略する。各要素の寸法比率は図示の比率に限られるものではない。

40

【0013】

図1は、リードフレーム100の平面図である。リードフレーム100は、9個(3個×3個)の単位フレーム50を有する。ただし、単位フレーム50の数は特に限定されない。単位フレーム50は、タイバー116を介して隣接する単位フレーム50と連結されている。

【0014】

リードフレーム100は、それぞれの単位フレーム50において中央部に配置されるパッド110と、パッド110の周囲に配置され、インナーリードともいわれる複数のリード112と、パッド110を支持するサポートバー114とを備える。サポートバー114の先端はパッド110に連結され、サポートバー114の後端はリード112の周囲に

50

配置されるタイバー 116 に連結されている。サポートバー 114 は、略矩形状のパッド 110 の四隅から放射状に延在してタイバー 116 に連結されることによって、パッド 110 を支持している。

【0015】

図 2 は、図 1 に示すリードフレーム 100 の断面の一部を示す断面図である。リードフレーム 100 は、基材 10 と基材 10 の表面に表面層 12 とを備える。表面層 12 は、基材 10 側から、銅めっき膜 14 と針状酸化物 16 とをこの順で備える。針状酸化物 16 は、基端部において銅めっき膜 14 に結合している。すなわち、銅めっき膜 14 から針状酸化物 16 が伸びている。針状酸化物 16 は、表面積が大きいというに、アンカー効果を有するため、樹脂との密着性を十分に向上することができる。

10

【0016】

針状酸化物 16 は、針状結晶であり、主成分として CuO を含有する。これによって、樹脂の分子構造に含まれる水酸基との間における水素結合の数を十分に多くすることができる。また、針状酸化物 16 は Cu₂O を含有してもよい。Cu₂O も、樹脂の分子構造に含まれる水酸基との間に水素結合を形成することができる。このように、リードフレーム 100 は、物理的及び化学的な結合によって樹脂との密着性を高く維持することができる。

【0017】

針状酸化物 16 における原子比率 (Cu/O) は、0.6 ~ 2.5 であってよく、0.8 ~ 2.2 であってよい。このような原子比率であれば、針状酸化物 16 における酸化銅の比率が十分に高くなり、樹脂との密着性を一層高くすることができる。

20

【0018】

EDX によるマッピングで観察したとき、針状酸化物 16 に含まれる成分のうち CuO の存在比率が最も高く、その存在比率は 50% を超えてもよい。本開示における「主成分として CuO を含有する」とは、このように CuO の存在比率が最も高いことを意味する。針状酸化物 16 は、実質的に CuO のみ、又は、CuO 及び Cu₂O のみから構成されていてもよい。ここでいう「実質的」とは、TEM による電子回折でその他の化合物が検出されず、且つ、EDX 分析において Cu 及び O 以外の原子 (測定機器に由来する原子は除く) が検出されないことを意味する。

【0019】

針状酸化物 16 は、先端部が当該先端部以外の部分 (例えば基端部) よりも小さい原子比率 (Cu/O) を有してよい。これによって、先端部において酸素原子の割合が高くなり、樹脂との水素結合の数を多くして密着性を高めることができる。また、基端部において銅原子の割合が高くなり、基材 10 との接合性が良好となる。このため、リードフレーム 100 の高温環境下においたときに表面層 12 と基材 10 との界面付近に発生する熱応力を小さくすることができる。したがって、表面層 12 と基材 10 との界面付近において熱応力による剥離の発生が抑制され、リードフレーム 100 の信頼性を一層高くすることができる。

30

【0020】

針状酸化物 16 は、先端部における CuO の含有割合が先端部以外の部分よりも高くてもよい。これによって、樹脂との水素結合による密着性向上の効果を一層大きくすることができる。

40

【0021】

表面層 12 は、針状酸化物 16 の周囲にアモルファス状又は微結晶状の酸化膜を含んでよい。酸化膜は、針状酸化物 16 と同様の組成を有していてもよい。酸化膜は、例えば、主成分として CuO を含有する。酸化膜は、さらに Cu₂O を含有してもよく、実質的に CuO のみ、又は、CuO 及び Cu₂O のみから構成されていてもよい。酸化膜も樹脂の水酸基との間に水素結合を形成することによって樹脂との密着性の向上に寄与する。

【0022】

表面層 12 の厚みは、例えば 10 ~ 200 nm であってよい。密着力を一層高くする観

50

点から、表面層 1 2 の厚みは、30 nm 以上であってよい。表面層 1 2 の厚みは、ポテンシオスタットを用いて測定することができる。

【0023】

銅めっき膜 1 4 は、通常の銅ストライクめっきであってよい。銅ストライクめっきには、一般に用いられる硫酸銅めっき液を用いることができる。別の実施形態においては、銅めっき膜 1 4 はなくてもよい。表面層 1 2 が銅めっき膜 1 4 を有することによって、基材 1 0 の材質選択の自由度を高くすることができる。基材 1 0 は、例えば、銅、銅合金又は 4 2 合金材で構成されてよい。リードフレーム 1 0 0 は、基材 1 0 と銅めっき膜 1 4 の間に下地めっき層を有していてもよい。

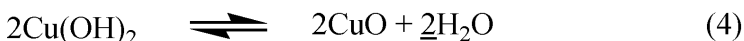
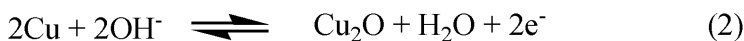
【0024】

表面層 1 2 は、例えば図 3 に示す表面処理装置を用いて形成することができる。図 3 の表面処理装置では、60 ~ 80 の温度範囲にあるアルカリ浴 5 2 中を、基材が図 3 の左から右に向かって移動する。基材の一对の主面に対向するように電極 3 2, 4 2 が配置される。基材と電極 3 2, 4 2 は、基材が陽極、電極 3 2, 4 2 が陰極となるように、それぞれ電源 4 0 に接続されている。電源 4 0 は直流電源であり、例えば 0.1 ~ 1.5 A / dm² の電流密度で電流を供給するように構成される。表面処理装置における基材の処理時間は、例えば、5 ~ 20 秒間である。例えば、銅めっき膜 1 4 を有する基材 1 0 を表面処理装置で表面処理することによって、リードフレーム 1 0 0 を得ることができる。

【0025】

アルカリ浴 5 2 は、例えば、亜塩素酸ナトリウム、水酸化ナトリウム、アミノ化合物、リン酸三ナトリウム、及びイオン交換水を含む。アルカリ浴 5 2 中では、例えば以下のような反応 (1) ~ (4) が進行する。

【化 1】



【0026】

式 (1) で生成した水酸化銅イオンと基材 1 0 に含まれる Cu が、式 (2) のとおり反応して Cu₂O が生成する。生成した Cu₂O は式 (3) に示すように水酸化銅イオンと反応して Cu(OH)₂ が生成する。このとき、Cu₂O の少なくとも一部は、式 (3) で反応せずに、針状酸化物 1 6 内に残存してもよい。式 (3) で生成した Cu(OH)₂ は、式 (4) のとおり反応して CuO が生成する。ここで、式 (4) が十分に進行しない場合、Cu(OH)₂ の一部が僅かに残存することとなるが、本実施形態ではアルカリ浴 5 2 の温度が 60 ~ 80 にあるため、式 (4) が十分に進行する。その結果、針状酸化物 1 6 は CuO、又は、CuO 及び Cu₂O から構成されることとなる。針状酸化物 1 6 は、水酸化銅 (II) を実質的に含有しないことが好ましい。

【0027】

図 4 は、リードフレーム 1 0 0 を用いて作製されるリードフレームパッケージの一例を示す断面図である。リードフレームパッケージ 2 0 0 は、所謂 QFN タイプのリードフレーム 1 0 0 を備える。リードフレーム 1 0 0 は、パッド 1 1 0 と、パッド 1 1 0 の周囲に配置されるリード 1 1 2 を有する。リードフレームパッケージ 2 0 0 は、リードフレーム 1 0 0 と、パッド 1 1 0 の表面上に設置された半導体チップ 7 0 と、半導体チップ 7 0 とリード 1 1 2 とを接続するボンディングワイヤ 7 2 と、半導体チップ 7 0 及びボンディングワイヤ 7 2 を封止する樹脂 6 0 と、を備える。樹脂 6 0 は、半導体チップ 7 0 及びリードフレーム 1 0 0 の一方を覆うように設けられている。一方、リードフレーム 1 0 0 の他方面は樹脂 6 0 に覆われておらず、外部に露出している。

10

20

30

40

50

【 0 0 2 8 】

リードフレーム 1 0 0 は、一方面に針状酸化物を含む表面層を有する。針状酸化物は、主成分として CuO を含有する。このような表面層は、高温環境下（例えば 2 0 0 ~ 3 0 0 ）においても安定であり、樹脂 6 0 と十分に密着する。したがって、リードフレームパッケージ 2 0 0 は信頼性に優れる。

【 0 0 2 9 】

図 4 に示すリードフレームパッケージ 2 0 0 をプリント配線板等の基板に搭載する場合、リードフレーム 1 0 0 の他方面が、プリント配線板の導体とハンダによって接続される。リードフレーム 1 0 0 は、他方面にも表面層を有していてもよく、一方面のみに表面層を有していてもよい。

10

【 0 0 3 0 】

次に、リードフレームパッケージ 2 0 0 の製造方法の一例を説明する。この例では、リードフレーム 1 0 0 の一方面側に半導体チップ 7 0 を搭載する搭載工程と、半導体チップ 7 0 を封止し、リードフレーム 1 0 0 の一方面を覆うように樹脂 6 0 を設ける封止工程とを有する。

【 0 0 3 1 】

搭載工程では、リードフレーム 1 0 0 のパッド 1 1 0 に、ダイボンディング用樹脂を用いて半導体チップ 7 0 を固定する。次に、半導体チップ 7 0 のパッドとリード 1 1 2 とをボンディングワイヤ 7 2 を介して接続する。このとき、ボンディングワイヤ 7 2 は、ダイボンド用樹脂を用いて固定される。このようにして、リードフレーム 1 0 0 に半導体チップ 7 0 を搭載する。

20

【 0 0 3 2 】

封止工程では、半導体チップ 7 0 が搭載されたリードフレーム 1 0 0 をモールド金型内に配置する。そして、樹脂組成物（例えば、エポキシ樹脂などの熱硬化性樹脂組成物）をモールド金型内に供給する。その後、加熱して、モールド金型内で樹脂組成物を硬化させて樹脂 6 0 を形成する。このようにしてリードフレームパッケージ 2 0 0 が得られる。

【 0 0 3 3 】

リードフレームパッケージ 2 0 0 は、高温環境下においても樹脂 6 0 の密着性を十分良好に維持することができる。このため信頼性に優れる。

【 0 0 3 4 】

以上、幾つかの実施形態を説明したが、本開示は上述の実施形態に何ら限定されるものではない。例えば、リードフレームは、DFNタイプ又はQFPタイプであってもよい。

30

【実施例】

【 0 0 3 5 】

実施例及び比較例を参照して本発明の内容をより詳細に説明するが、本発明は下記の実施例に限定されるものではない。

【 0 0 3 6 】

〔実施例 1〕

〔リードフレームの作製〕

基材（Cu 基材）を準備した。基材の電解めっき処理を行い、表面上に銅めっき膜（厚み：0.1 μm）を形成した。その後、アルカリ液中で基材の陽極酸化を行った。アルカリ液としては、亜塩素酸ナトリウム、水酸化ナトリウム、アミノ化合物、リン酸三ナトリウム、及びイオン交換水を含むものを用いた。図 3 に示すような処理装置を用い、60 ~ 80 のアルカリ液中、基材を所定の速度で走行させて、0.8 ~ 1.1 A / dm² の電流密度で表面処理を行った。アルカリ液中の基材の滞留時間は 5 ~ 20 秒間とした。

40

【 0 0 3 7 】

上述の表面処理によって、基材の銅めっき膜の表面に針状酸化物が形成された。このようにして実施例 1 のリードフレームを得た。得られたリードフレームの針状酸化物の組成を以下の手順で分析した。

【 0 0 3 8 】

50

[リードフレームの分析]

< S T E M画像観察、T E M画像観察、及びE D X分析 >

リードフレームの表面に炭素膜及びタングステン膜を順次形成した。炭素膜は高真空蒸着装置を、タングステン膜はF I B装置を用いてそれぞれ形成した。F I Bマイクロサンプリング法にてリードフレームを加工し、F I B加工によって薄片化を行って測定試料を得た。測定試料のS T E M画像及びT E M画像の観察、並びにE D X分析を行った。

【 0 0 3 9 】

図5は、B F - S T E M像の写真(倍率: 2.5万倍)を示している。図5に示されるとおり、実施例1のリードフレームは、針状酸化物と、針状酸化物に付着する酸化膜と、を含む表面層を備えることが確認された。

10

【 0 0 4 0 】

図6は、針状酸化物の拡大画像のT E M写真(倍率: 35万倍)である。図6の点1, 点2, 点3においてE D X分析を行った。点3は、針状酸化物の先端部に位置し、点1, 2は点3よりも基端部側に位置する。E D X分析には、日本電子製のE D X分析装置(装置名: J E D - 2 3 0 0 T)を用いた。加速電圧は200kV、ビーム径は約1nmとした。

【 0 0 4 1 】

図7は点3におけるE D Xの分析結果を示すチャートである。図7中、Cは保護膜に由来するピークであり、M oのピークは試料保持用メッシュに由来するピークである。図7に示すようにとおり、針状酸化物からはC uとOのみが検出された。点1, 2においても、図7と同様にC uとOのみが検出された。E D Xの分析結果に基づく、点1, 2, 3におけるC uとOの半定量結果を表1に示す。表1の結果によれば、針状酸化物の先端部の方が、当該先端部以外の部分よりもC u / Oの値が小さくなっていた。

20

【 0 0 4 2 】

【表1】

点	O	Cu	Cu/O
1	39.5	60.5	1.53
2	31.6	68.4	2.16
3	50.9	49.1	0.96

30

【 0 0 4 3 】

図8は、図6及び図7とは別の部分における針状酸化物の拡大画像のT E M写真(倍率: 35万倍)である。図9は、図8のうち、針状酸化物による被覆部分の拡大画像のT E M写真(倍率: 100万倍)である。図10は、図9の写真に含まれる針状酸化物をさらに拡大して示す画像のT E M写真(倍率: 300万倍)である。図8~図10に示すとおり、リードフレームの表面層は、針状酸化物とその周囲に酸化膜とを含んでいた。図10の点4, 5, 6においてE D X分析を行った。点4は、点5よりも針状酸化物の先端部側に位置する。

【 0 0 4 4 】

点4, 5, 6においても、図7と同様にC uとOが検出された。これらの分析結果に基づく、点4, 5, 6におけるC uとOの半定量結果を表2に示す。表2の点4, 5の結果によれば、針状酸化物の先端部側の方が基端部側よりもC u / Oの値が小さくなっていた。酸化膜の組成を示す点6でも図7と同様にC uとOのピークのみが検出され、C u Oを主成分とすることが確認された。

40

【 0 0 4 5 】

【表2】

点	O	Cu	Cu/O
4	46.1	53.9	1.17
5	41.8	58.2	1.39
6	46.5	53.5	1.15

50

【 0 0 4 6 】

図 1 1 (A) は、図 9 に対応する部位の H A A D F - S T E M 像である。図 1 1 (B) 及び図 1 1 (C) は、同じ部位における C u (K) 及び O (K) の E D X マッピングの結果を示す。図 1 1 (A) に示すとおり、表面層は針状酸化物と針状酸化物に付着する酸化膜とを有する。E D X マッピングの結果によれば、針状酸化物と酸化膜は、殆どが C u O の組成に近い比較的均一な組成であった。このように、針状酸化物と酸化膜は主成分として C u O を含有していた。

【 0 0 4 7 】

図 1 2 は、針状酸化物のさらに別の部分における拡大画像の T E M 写真（倍率：35 万倍）である。図 1 3 は、図 1 2 に示される針状酸化物の一部をさらに拡大して示す画像の T E M 写真（倍率：100 万倍）である。図 1 4 及び図 1 5 は、図 1 3 の写真に示される針状酸化物の一部をさらに拡大して示す画像の T E M 写真（倍率：300 万倍）である。図 1 2 ~ 図 1 5 に示すとおり、リードフレームの表面層は、針状酸化物とその周囲に酸化膜とを含んでいた。図 1 4 の点 7、及び図 1 5 の点 8、9 において E D X 分析を行った。点 7、8、9 のうち、点 7 が最も基端部側に位置し、点 8 が最も先端部側に位置する。

10

【 0 0 4 8 】

点 7、8、9 においても、図 7 と同様に C u と O のみが検出された。これらの分析結果に基づき、点 7、8、9 における C u と O の半定量結果を表 3 に示す。表 3 でも、針状酸化物の先端部の方が当該先端部以外の部分よりも C u / O の値が小さくなっていた。

【 0 0 4 9 】

20

【表 3】

点	O	Cu	Cu/O
7	35.1	64.9	1.85
8	45.0	55.0	1.22
9	43.6	56.4	1.29

【 0 0 5 0 】

図 1 6 は、針状酸化物のさらに別の部分における拡大画像の T E M 写真（倍率：35 万倍）である。図 1 7 は、図 1 6 に示される針状酸化物の一部をさらに拡大して示す画像の T E M 写真（倍率：100 万倍）である。図 1 8 は、図 1 7 の写真に示される針状酸化物の一部をさらに拡大して示す画像の T E M 写真（倍率：300 万倍）である。図 1 6 ~ 図 1 8 に示すとおり、リードフレームの表面層は、針状酸化物とその周囲に酸化膜とを含んでいた。図 1 8 の点 10、11、12 において E D X 分析を行った。点 10、11、12 のうち、点 10 は先端部に位置し、点 11、12 は当該先端部以外の部分に位置する。

30

【 0 0 5 1 】

E D X 分析の結果、点 10、11、12 においても、図 7 と同様に C u と O のみが検出された。これらの分析結果に基づき、点 10、11、12 における C u と O の半定量結果を表 4 に示す。表 4 に示すとおり、針状酸化物の先端部の方が当該先端部以外の部分よりも C u / O の値が小さくなっていた。

【 0 0 5 2 】

40

【表 4】

点	O	Cu	Cu/O
10	52.1	47.9	0.92
11	39.4	60.6	1.54
12	44.9	55.1	1.23

【 0 0 5 3 】

< 電子回折解析 >

図 8 に示される「制限視野解析 1」及び「制限視野解析 2」、並びに、図 1 2 に示される「制限視野解析 3」及び「制限視野解析 4」の領域において、制限視野電子回折を行っ

50

た。図19(A)～(D)に、それぞれの制限視野における回折パターンを示す。得られたデバイリングから面間隔を測定した。測定結果を表5に纏めて示す。表5に示すとおり、いずれの面間隔も、CuO及びCu₂Oの面間隔の理論値とほぼ整合した。これらの結果から、針状酸化物は、CuO及びCu₂Oを含有することが確認された。一方、Cu(OH)₂のミラー指数<020>、<021>に対応する回折スポットは確認されなかった。

【0054】

【表5】

図番	番号	面間隔[nm] (測定値)	面間隔[nm] (理論値)	ミラー指数
図19(A)	1	0.237	0.2312	111 (CuO)
			0.2295	200 (CuO)
	2	0.200	0.1952	11-2 (CuO)
図19(B)	1	0.233	0.2312	111 (CuO)
			0.2295	200 (CuO)
図19(C)	1	0.231	0.2312	111 (CuO)
			0.2295	200 (CuO)
図19(D)	1	0.248	0.2520	002 (CuO)
			0.2511	11-1 (CuO)
			0.2465	111 (Cu ₂ O)
	2	0.210	0.2135	200 (Cu ₂ O)

10

20

【0055】

<ナノ電子回折>

図12に示される「ナノ回折1」及び「ナノ回折2」の位置において、制限視野ナノ電子回折を行った。図20(A)及び図20(B)に、それぞれの制限視野におけるナノ電子回折パターンを示す。得られたナノ電子回折パターンから面間隔を測定した。測定結果を表6に纏めて示す。表6に示すとおり、いずれの面間隔も、CuO及びCu₂Oの面間隔の理論値とほぼ整合した。これらの結果から、針状酸化物は、CuO及びCu₂Oを含有することが確認された。

30

【0056】

【表6】

図番	番号	面間隔[nm] (測定値)	面間隔[nm] (理論値)	ミラー指数
図20(A)	1	0.161	0.1572	202 (CuO)
	2	0.142	0.1373	1-13 (CuO)
	3	0.252	0.2511	-1-11 (CuO)
図20(B)	1	0.210	0.2135	020 (Cu ₂ O)
	2	0.152	0.1510	220 (Cu ₂ O)
	3	0.214	0.2135	200 (Cu ₂ O)

40

【0057】

<表面層の厚みとシア強度の測定>

ポテンショスタット(商品名:HSV-100(北斗電工製))を用いて、実施例1のリードフレームの表面層の厚みを測定した。その結果、表面層の厚みは63nmであった

50

。リードフレームのパッドの上に接着剤を介してシリコンチップをマウントした。その後、大気中で260 に加熱しながらパッドからシリコンチップを剥がす際のシア強度を、4000 Plus ボンドテスター (Nordson DAGE 社製) を用いて測定した。シア速度は100 $\mu\text{m}/\text{s}$ 、シア高さは100 μm とした。n = 12で測定を行ったところ、シア強度の平均値は5.81 MPaであった。

【0058】

(比較例1)

実施例1で用いたものと同じ基材 (Cu 基材) を準備した。実施例1と同様にして基材の電解めっき処理を行い、表面上に銅めっき膜 (厚み: 0.1 μm) を形成した。これを比較例1のリードフレームとした。

【0059】

実施例1と同様に、ポテンシostatを用いて、比較例1のリードフレームの表面層 (銅めっき膜) の厚みを測定した。その結果、表面層の厚みは1.9 nmであった。リードフレームのパッドの上に接着剤を介してシリコンチップをマウントした。その後、大気中で260 に加熱しながらシリコンチップを剥がす際のシア強度を実施例1と同じ方法で測定した。n = 12で測定を行ったところ、シア強度の平均値は1.73 MPaであった。実施例1の方が比較例1よりもシア強度が大幅に高いことが確認された。

【0060】

(実施例2)

実施例1と同様の手順で、表面層の厚みが異なる複数種類のリードフレームを作製した。表面層の厚みは、表面処理の電流密度を調節することによって変更した。表面層の厚みは、ポテンシostatを用いて測定した。それぞれのリードフレームのシア強度を、実施例1と同様にして測定した。図21に、表面層の厚みとシア強度の関係を示す。図21には比較例1及び実施例1のシア強度もプロットした。この結果から、表面層の厚みを大きくすることで、シア強度を十分に大きくできることが確認された。

【産業上の利用可能性】

【0061】

本開示によれば、高温環境下においても樹脂との密着性に優れるリードフレームが提供される。また、信頼性に優れるリードフレームパッケージが提供される。

【符号の説明】

【0062】

10 ... 基材、12 ... 表面層、14 ... 銅めっき膜、16 ... 針状酸化物、32, 42 ... 電極、40 ... 電源、50 ... 単位フレーム、52 ... アルカリ浴、60 ... 樹脂、70 ... 半導体チップ、72 ... ボンディングワイヤ、100 ... リードフレーム、110 ... パッド、112 ... リード、114 ... サポートバー、116 ... タイパー、200 ... リードフレームパッケージ。

10

20

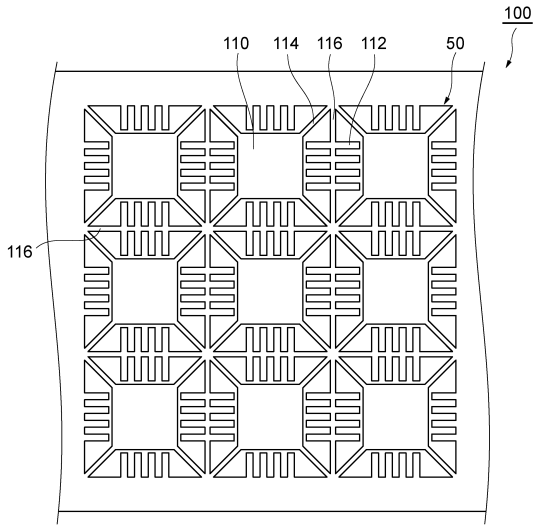
30

40

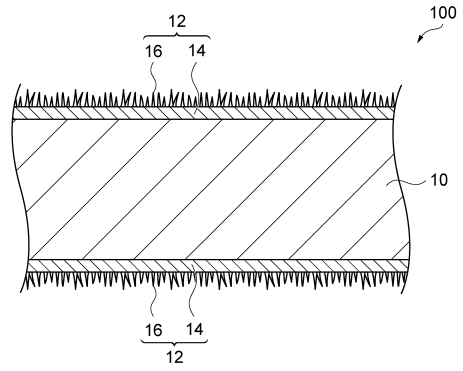
50

【図面】

【図 1】



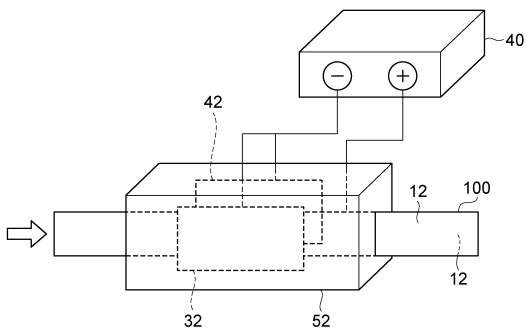
【図 2】



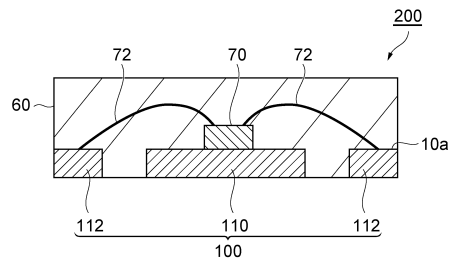
10

20

【図 3】



【図 4】

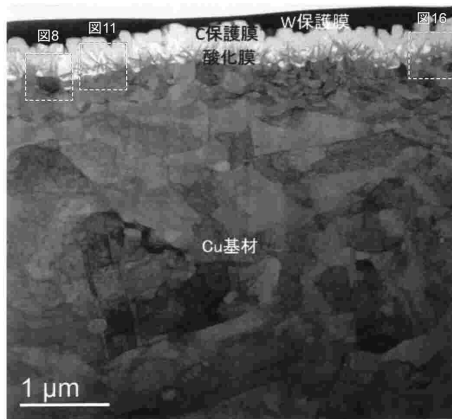


30

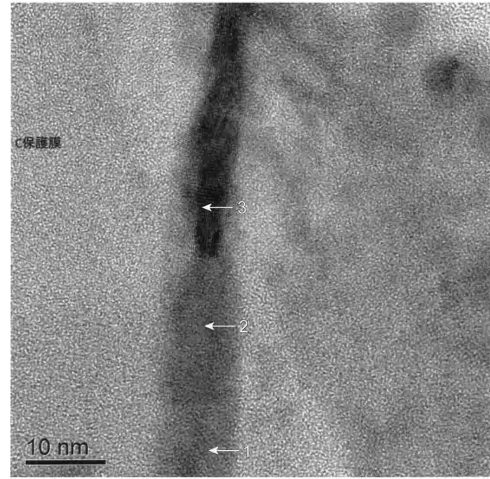
40

50

【 図 5 】



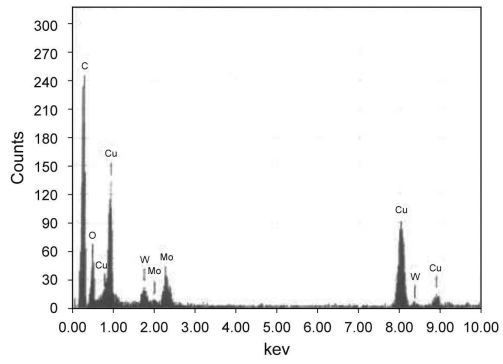
【 図 6 】



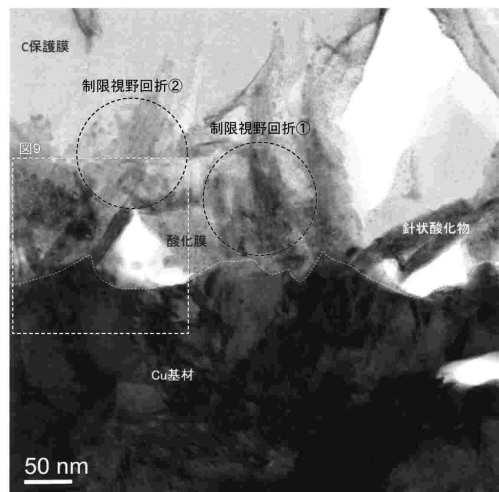
10

20

【 図 7 】



【 図 8 】

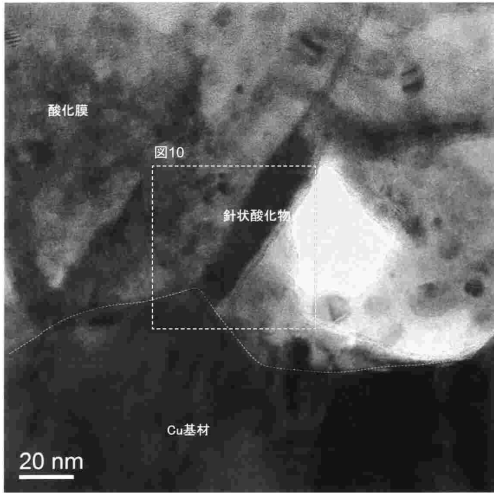


30

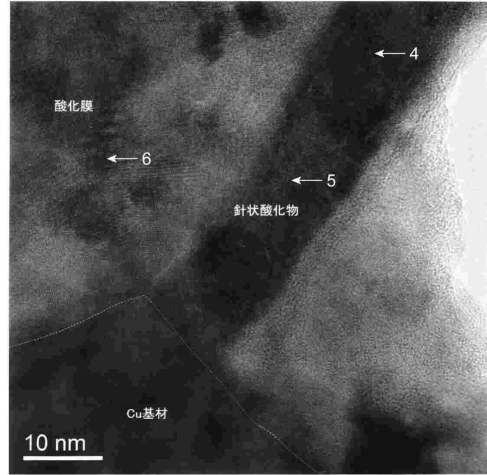
40

50

【 図 9 】



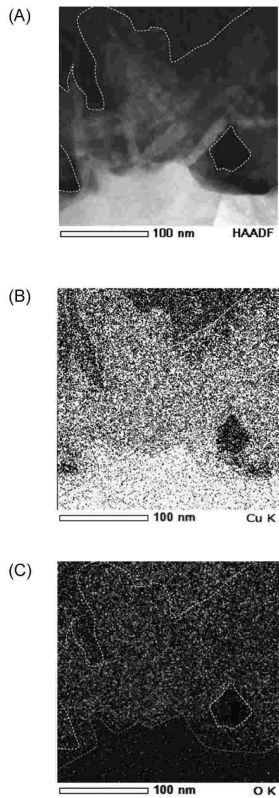
【 図 1 0 】



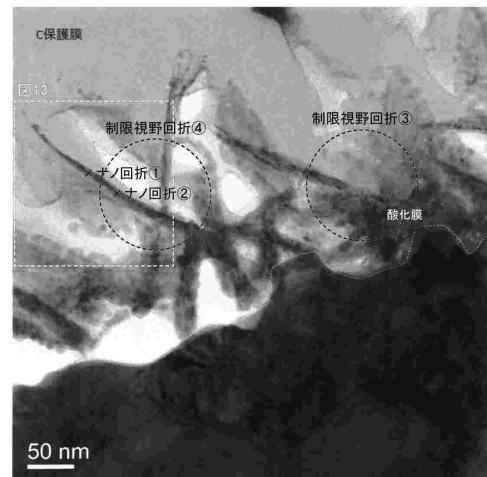
10

20

【 図 1 1 】



【 図 1 2 】

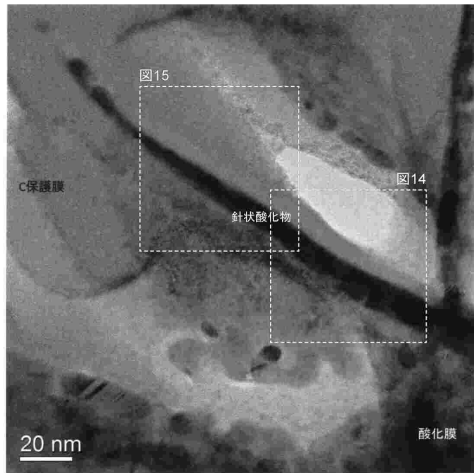


30

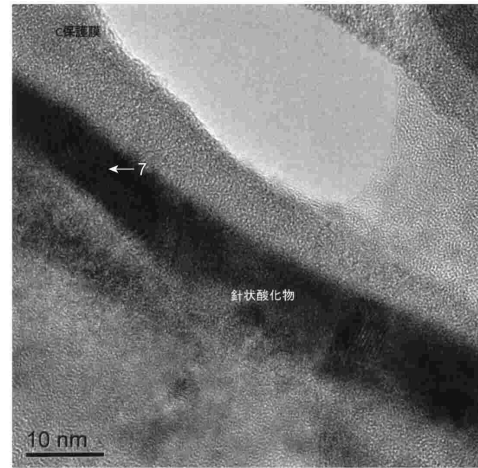
40

50

【 図 1 3 】



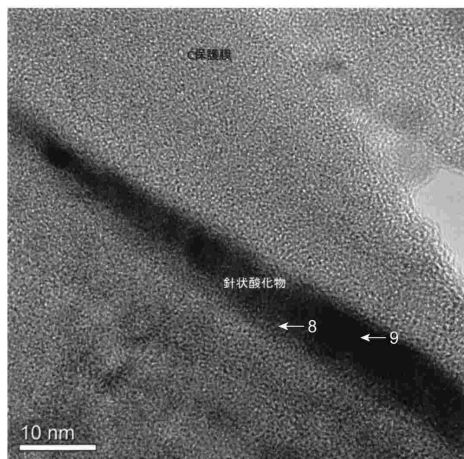
【 図 1 4 】



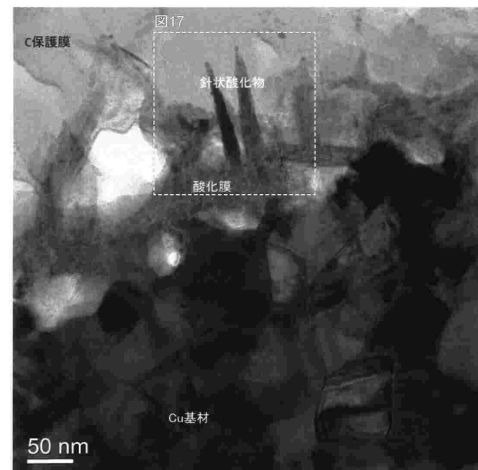
10

20

【 図 1 5 】



【 図 1 6 】

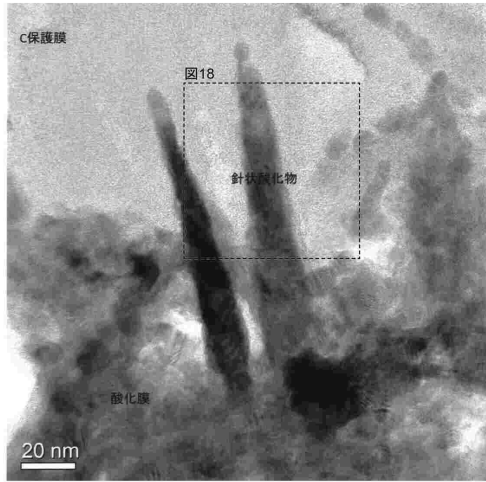


30

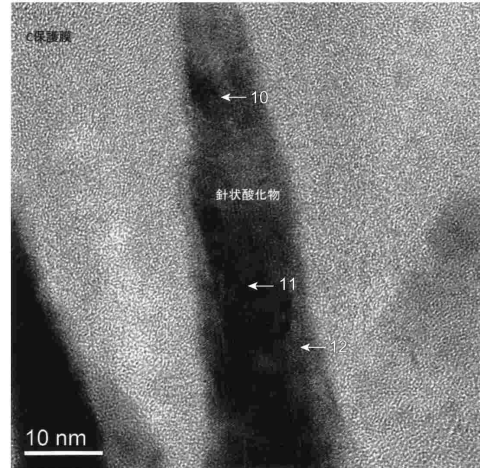
40

50

【図 17】



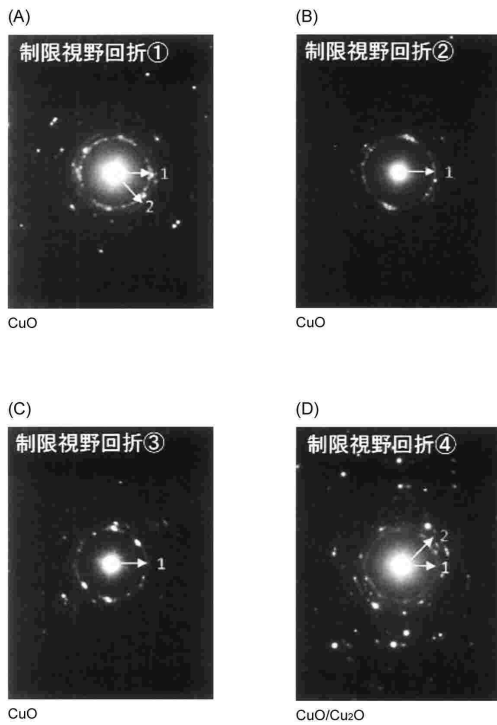
【図 18】



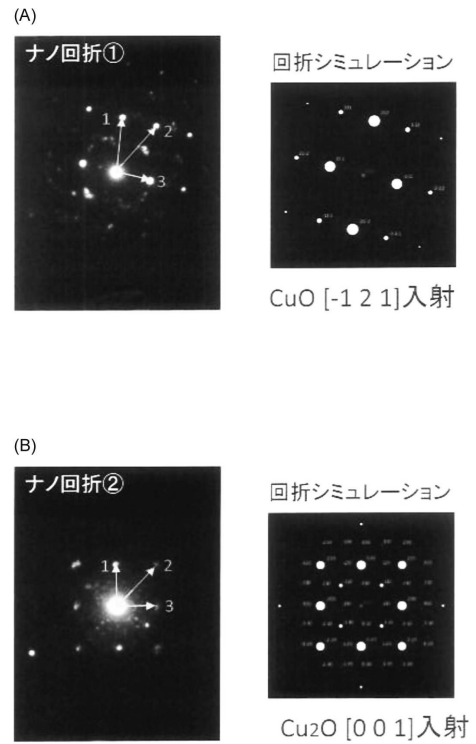
10

20

【図 19】



【図 20】

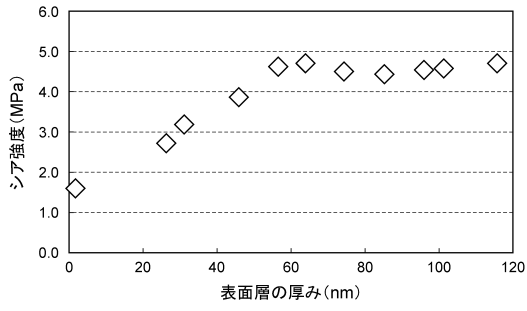


30

40

50

【 図 2 1 】



10

20

30

40

50

フロントページの続き

- (56)参考文献 特開平 1 0 - 2 8 4 6 6 8 (J P , A)
特開 2 0 0 4 - 3 4 9 4 9 7 (J P , A)
特開 2 0 0 8 - 1 3 1 0 0 5 (J P , A)
- (58)調査した分野 (Int.Cl. , D B 名)
H 0 1 L 2 3 / 4 8
H 0 1 L 2 3 / 5 0